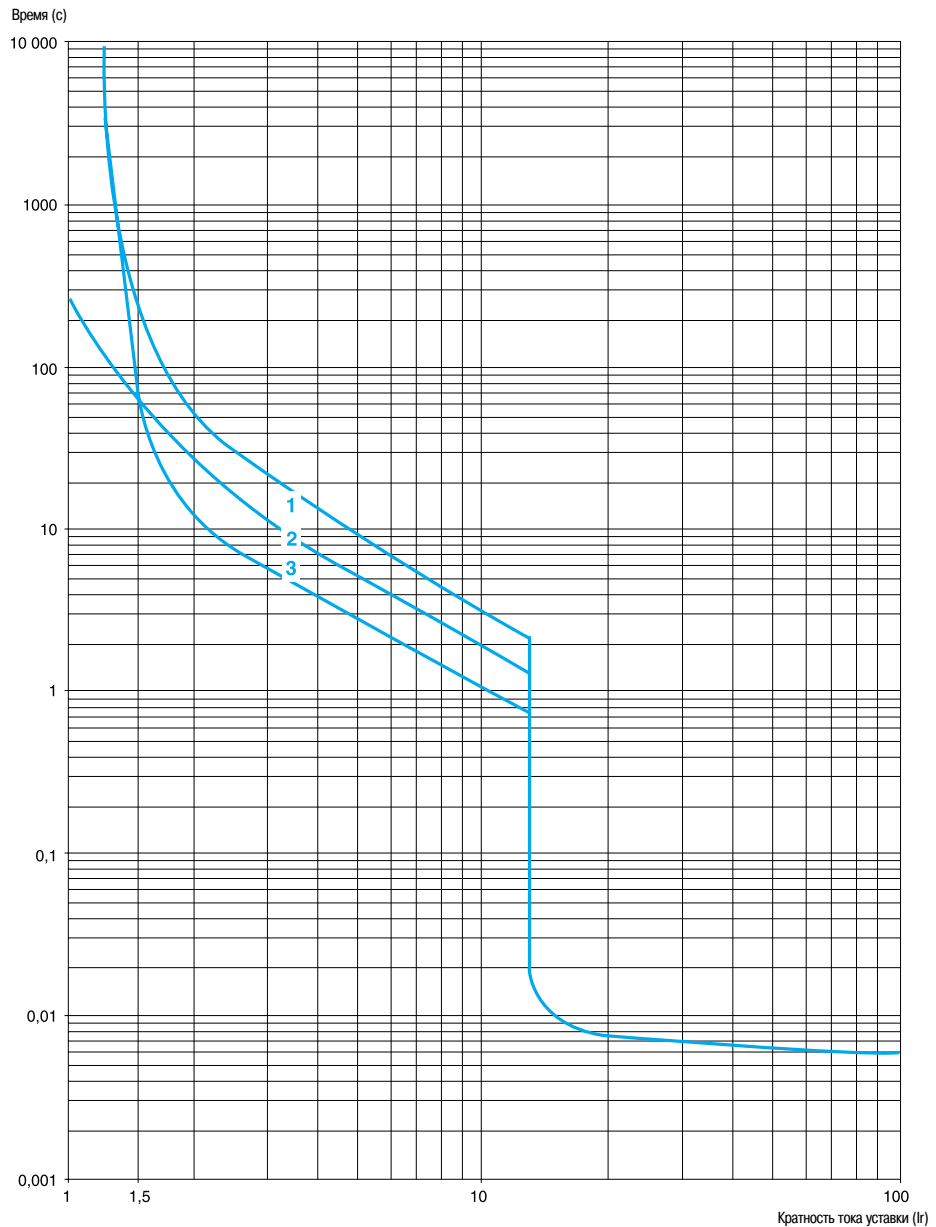


# Выбор автоматических выключателей TeSys в соответствии с применением

Автоматические выключатели GV2-ME и GV2-P с комбинированным расцепителем

## Кривые отключения автоматических выключателей GV2-ME и GV2-P

Время срабатывания при 20 °C в зависимости от увеличения кратности тока уставки



- 1 3 полюса из холодного состояния
- 2 2 полюса из холодного состояния
- 3 3 полюса из горячего состояния

# Выбор автоматических выключателей TeSys в соответствии с применением

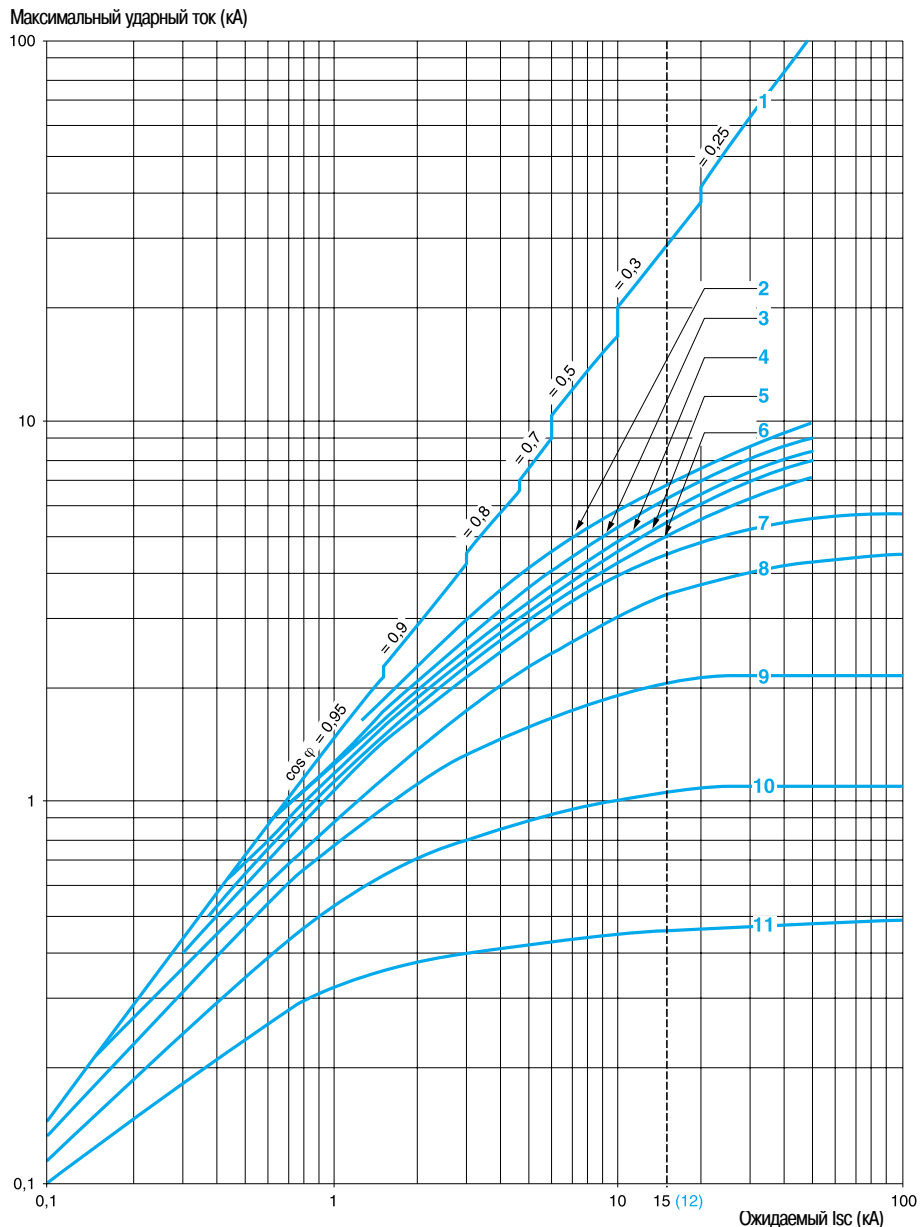
Автоматические выключатели GV2-ME и GV2-P с комбинированным расцепителем

## Токоограничение выключателей GV2-ME и GV2-P при коротком замыкании

Трёхфазная сеть, 400/415 В.

Динамический ударный ток

$I_{уд.} = f(\text{ожидаемый } I_{sc})$  при  $1,05 U_e = 435 \text{ В.}$



- |                            |   |
|----------------------------|---|
| 1 Максимальный ударный ток | 7 6-10 А  |
| 2 24-32 А                  | 8 4-6,3 А   |
| 3 20-25 А                  | 9 2,5-4 А   |
| 4 17-23 А                  | 10 1,6-2,5 А  |
| 5 13-18 А                  | 11 1-1,6 А  |
| 6 9-14 А                   | 12 Токоограничивающая способность GV2-ME при коротком замыкании (для ном. токов: 14; 18; 23 и 25 А) |

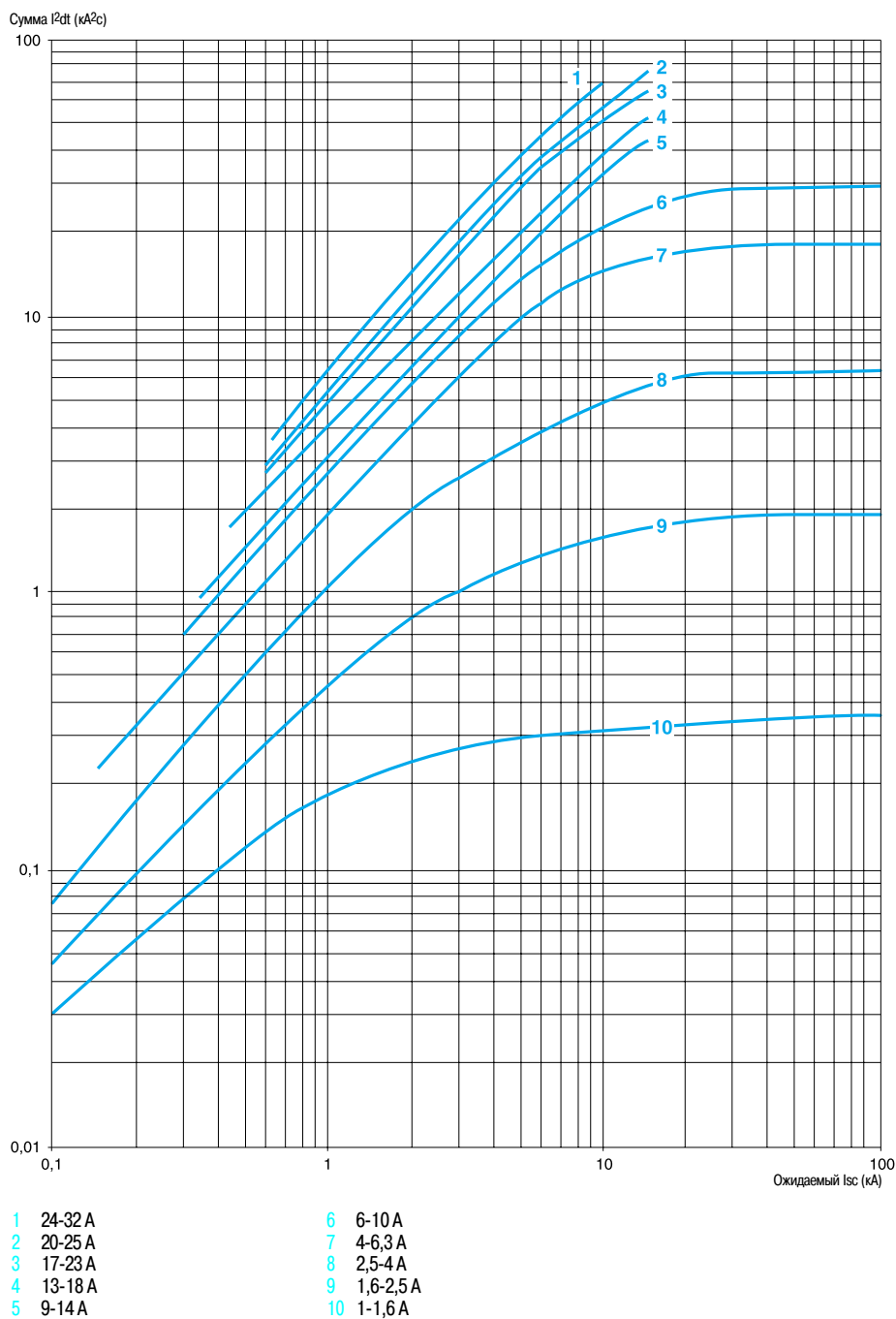
# Выбор автоматических выключателей TeSys в соответствии с применением

Автоматические выключатели GV2-ME и GV2-P с комбинированным расцепителем

## Термическое ограничение GV2-ME при коротком замыкании

Термическое ограничение в  $kA^2c$  в области срабатывания магнитного расцепителя

Сумма  $I^2dt = f$  (ожидаемый  $I_{sc}$ ) при  $1,05 U_e = 435 В$ .



# Выбор автоматических выключателей TeSys в соответствии с применением

Автоматические выключатели GV2-ME и GV2-P с комбинированным расцепителем

## Термическое ограничение GV2-P при коротком замыкании

Термическое ограничение в  $\text{kA}^2\text{s}$  в области срабатывания магнитного расцепителя

Сумма  $I^2dt = f$  (ожидаемый  $I_{sc}$ ) при  $1,05 U_e = 435 \text{ В}$ .

